汽水環境解析のための十三湖水戸口流量の推定方法に関する検討

Estimation Method of Discharge through the Mouth of Lake Jusan for Assessment of the Brackish Environment

Atas Pracoyo ¹・梅田 信²・田中 仁³・佐々木幹夫⁴

Atas PRACOYO, Makoto UMEDA, Hitoshi TANAKA and Mikio SASAKI

Mixing ratio of saline water and freshwater is crucial in estuaries. The salinity flux into a brackish lake particularly has high influences on the environment and ecosystem in the lake. In this paper, we propose a method of estimation of discharge through the tidal inlet of Lake Jusan, considering not only the water balance but also kinematic conditions in the lake. Our method gives more accurate estimation on discharge fluctuation caused by tidal changes, and is also capable of simulating salinity flux into the lake properly. Both of them are very important on assessing water quality and ecological factors in estuaries. The results from this method are not affected by topographical change around the tidal inlet, which is one of the advantages of the proposed method.

1. 序論

汽水域は,海水と淡水が混ざり合う陸と海との境界域 であるという点から、特殊な環境と言われることが多い (たとえば楠田・山本, 2008). その中でも汽水湖は、閉 鎖性水域としての性格を有することから, よりいっそう に特殊であると言えよう. 特に湖内の塩分環境を形成す る海水および河川水の流入は、潮汐や波浪などの海側の 条件に加えて、出水など河川側の条件および湖の条件で ある湖水位とも関連する (鶴田ら, 2001; 丸谷ら, 2010). また、湖沼 (閉鎖性水域) としての特性から、汚濁負荷 の蓄積による水質の悪化が懸念されることが多い(久保 田ら,2006).

岩木川の最下流部に位置する十三湖は、ヤマトシジミ の産地として知られている。十三湖は、非常に浅いとい う地形的な特徴などから、海水の交換頻度が非常に高い ことが分かっている(梅田ら,2008). またヤマトシジ ミの生息に対して, 塩分がストレスとなり成長に負の効 果があると考えられること (原ら, 2008) や, 過度の高 塩分が斃死を招く可能性があること (梅田ら, 2010) が 指摘されている.

したがって, 汽水湖における海水流入量, または湖水 交換量を正確に把握することが、水質や生物などの水環 境を把握する上で必要である. 本研究では、十三湖内の 汽水特性を把握する上で重要な水戸口からの湖水交換量 (特に海水流入量) について、湖水位や潮位などの経年 的にかつ連続的に測定されており, 比較的入手しやすい データを活用して、より精度良く求めるための方法につ いて検討した.

2. 現地の概要および観測方法

十三湖は,青森県の西部で岩木川の最下流にある汽水 湖である. 全集水面積は2,544km2で, 岩木川がそのうち の8割弱を占める. そのほかに、十三湖の平均水深は約 1mで、湖心の最深部でも2mほどの水深しかない非常に 浅い湖である。湖の平面形状は、図-1に示すように、湖 の北西部分にある「水戸口」により日本海に通じている. 水戸口は、水路幅180mで両側には、1946年に竣工した 突堤がある. 北側突堤の延長は389m, 南側は337mであ る. この突堤により、河口閉塞が防がれている.

本研究で行った現地観測は、この水戸口付近における 流れの状況を把握するためのものである. つぎのような 大きく分けて二通りの観測を実施した.

一つ目に、電磁流速計(アレック電子株式会社、現 JFEアドバンテック株式会社, COMPACT-EM) を地点A の2水深に設置して、連続的な測定を行った. 設置深度 は、湖底上0.5mと1.5mである. なお当該地点の全水深 は、潮汐により変動するが、概ね2mから3m程度である。 また同一位置で水温・塩分計 (アレック電子株式会社, COMPACT-CT) を設置し、塩分と水温の測定も同時に 行っている. いずれも測定期間は2009年7月10日から10 月25日, 測定間隔は10分である.

二つ目は、ADCP (RD-Instruments社製)を用いた流速 空間分布の観測を行った. 観測日は,2009年7月10日午 後,8月10日午後,9月26日午後,27日午前の計4日間で ある. この観測の目的は、水戸口近傍の流速分布を把握 することである. 特に、図-1に示した測線における通過 流量を算出し、後述する流量推定結果の検証に活用した.

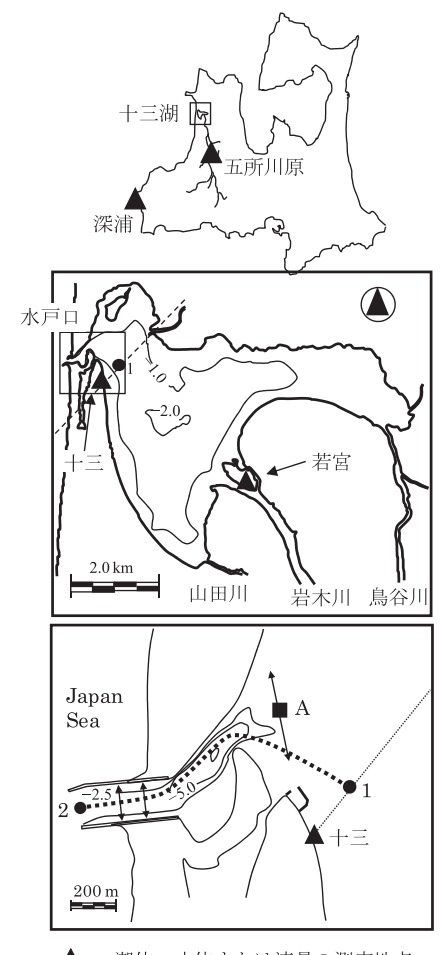
¹ 学生会員 M Eng

東北大学大学院工学研究科土木工学専攻

² 正会員 3 フェロー

博(工) 工博

⁴ 正会員 工博



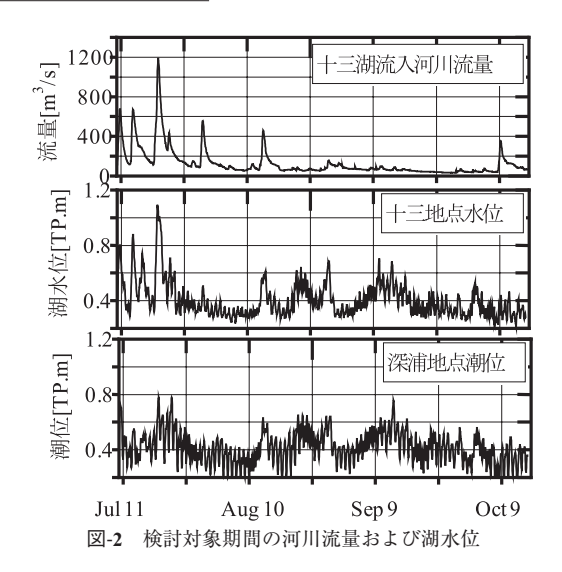
▲ 潮位,水位または流量の測定地点 流速計の設置地点

— → ADCPでの観測測線

図-1 (a) 十三湖および周辺の測定地点, (b) 十三湖の概形および湖水位の測定地点, (c) 水戸口周囲の測定地点

図-2に本観測期間(2009年の7月10日から10月15日)の現地状況(河川流量、湖水位)を示す。河川流量は、五所川原地点で計測された値に対して、十三湖の集水面積(2,544km²)と五所川原地点の集水面積(1740km²)の比を乗じて、十三湖への流入量に換算したものである。観測開始後の7月中旬から8月はじめまで、出水が連続的に生じていた。その後、8月下旬から10月上旬までは比較的落ち着いた流量が継続していた。十三湖の水位は、集水域で出水が生じたときには、これにあわせて上下していることが分かる。また出水ではない平常時には、概ね潮位の変動に追随している。ただし、十三地点における湖水位の振幅は、潮汐に比べて若干小さい傾向がある。

また参考にADCP流動観測時の概況について述べておく、7月10日はちょうど出水があったときに重なってしまい、河川流量、湖水位ともに大きかった。そのため、



水戸口における流動も、全般的に湖内から日本海への流出する流れだった。8月観測時は、晴天でかつほぼ無風の非常に穏やかな状況だった。9月観測時は、二日とも晴天であったが、26日は風が比較的強く、27日は弱風の状況だった。

本研究では、ここまで述べたような、筆者らの現地観測によるデータ以外に次のものを用いた。河川流量は十三湖から約30km上流の五所川原地点で、湖水位は若宮地点(湖上流部)と十三地点(湖下流部)の2地点で国土交通省により計測されている。また本研究で用いた潮位は、気象庁による深浦地点における観測値である。各測定地点は、図-1に示してある。

3. 水戸口通過流量の算出方法

(1) 力学的条件を考慮した流量の推定方法

本論文では、3通りの方法で水戸口の通過流量を推定し、それぞれで比較検討した.一つ目の方法は、湖水位と潮位の差から、マニング則を適用して推定するものである(これを以下手法Aと呼ぶ)。マニング則は、v:流速、n:粗度係数、R:径深、I:エネルギー勾配とすれば、

$$v = \frac{1}{r} R^{2/3} I^{1/2} \dots (1)$$

であるが、水戸口は広幅水路であるので、径深は水深hと見なすことができる。したがって、水戸口の通過流量 Q_M は、B:水路幅として、

$$Q_{M} = (Bh) \cdot \frac{1}{n} h^{2/3} I^{1/2} = \frac{B}{n} h^{5/3} I^{1/2} \quad \dots (2)$$

と表すことができる.

エネルギー勾配Iは、潮位(深浦地点)と湖水位(十 三地点)の差を各時刻で求め、これを図-1に示した地点 1(湖水位観測点近傍)と地点2(水戸口出口)の間を結 ぶ経路(点線)の距離Lで除して算出した。この経路は、 十三地点から水戸口外側までの澪筋に概ね沿って流動が 生じていると考え, 対象領域の深浅測量結果を参考に設 定した。その結果、水戸口通過流量 Q_M は、 H_L :湖水位、 H_T : 潮位, H_B : 水路床高さとして,

$$Q_{M} = \frac{B}{n\sqrt{L}} (H_{L} - H_{B})^{5/3} |H_{L} - H_{T}|^{1/2} \operatorname{sgn}(H_{L} - H_{T}) \cdots (3)$$

と表される.ここで、 Q_M は湖からの流出を正、海から湖 への流入を負としているために符号関数を用いた.

この式で現れるいくつかの定数は、つぎのように定め た. 水路幅Bは、水戸口の突堤間隔である180mを用いた. 粗度係数nは、本研究と同じく水戸口における水理条件の 検討を行ったWatanabe et al. (1995) を参考に0.035とした. また水路長Lについては、湖水位が観測されている十三地 点から水戸口の海側出口までの澪筋を湖水流動の中心と して想定し、図-1下段中の点1から点2までをつなぐ点線 を仮想的な水路長と考え、L=1,310 mを設定した.

水路床高さH。は、湖内の深浅測量の結果を用いて設定 することができる. しかし、十三湖からの流出土砂や沿 岸漂砂の堆積あるいはこれらの洗掘といった河床変動に より変化する可能性がある.また、式(3)のみから流 量を求めると、湖内の水収支が合わなくなる可能性があ る. そこで、 H_B を未定とし、湖水の連続条件を考慮して 決定するようにした. 湖水容量を V, 河川からの流入量 e_{O_p} e t t t,

$$Q_{M} = Q_{R} - \frac{dV}{dt} \qquad (4)$$

である。河川流量0。は、岩木川の五所川原地点における 流量に, 十三湖および五所川原地点の集水面積比を乗じ て求めることができる.一方、湖水量の変化dV/dtも梅田 ら(2007)が行っているように、湖面積×水位変動とし て求めることができる.しかし、本研究では湖水量変化 の項を消去できるよう,式(4)を時間積分し,積分時 間間隔の開始と終了で水位が等しくなるよう設定した. すなわち,

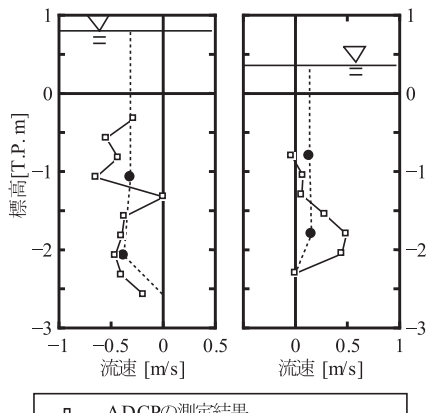
$$\int_{t_0}^{t_1} Q_M = \int_{t_0}^{t_1} Q_R$$
(5)

とし、ここに t_0 、 t_1 は $h(t_0) = h(t_1)$ となる時刻である.

以上から,式(3)と式(5)を連立して、HRを設定の 上, Q_M を求めることができる。なお、 t_0 と t_1 の設定すな わち一定の湖水位となる時刻は, 十三湖の特性として, 潮汐に応じて1日のうちでも数回も生じうる.しかし、 水位や河川流量の測定時間間隔が1時間であるので、あ まり積分間隔が短いと誤差が大きくなってしまう. その ため、本研究では約10日間ごとの積分時間を設定した.

(2) 流速の測定結果を用いた推定方法

二つ目の流量算出方法は、連続測定で得られた2水深



- ADCPの測定結果
- 設置型電磁流速計の測定結果
- 設定した流速分布

図-3 測定した流速分布の比較および設置した2点の流速計に 対する流速分布の設定事例

の流速を用いて流量を推定するものである(以下,手法 B). その際, 流速分布を仮定する必要があるが, 測定は 2点のみである. そこで本論文ではごく単純な設定をし た. 底面ではノンスリップ条件より流速をゼロとし、水 面では上側の測点と等しい流速とした. これらと測定点 の流速はそれぞれ直線で結んで補間し、流速分布を作成 した. その上で, この分布から水深平均流速を求めて流 量推定に用いた.

通過断面は, 矩形を仮定した. 水深は, 流速計を設置 した地点における湖底高さと各時刻の水位から算出し た. 断面幅は、湖水の収支を考慮して設定した. すなわ ち,断面平均流速: ν_M ,水路幅: B_M ,水深 h_M とすれば,

$$B_M = \frac{\int_{t_0}^{t_1} Q_R dt}{\int_{t_1}^{t_1} v_M h_M dt} \qquad (6)$$

のように、前掲の式(5)における計算と同様に、水戸 口通過流量がある期間の河川からの流入量と等しいとし T, B_M を決めることができる.

また, ADCPで測定した横断面内の流速分布からも, スナップショットとしての流量を求めることができる. 後述するように、この結果を手法Bの検証に用いた.

(3) 湖水収支に基づく流量の推定方法

第3の方法は、連続条件のみに基づく方法で、梅田ら (2008) において用いられた方法である。十三地点にお ける湖水位変動と湖面積および河川流量の関係から,流 量を推定するものである.

$$Q_{\scriptscriptstyle M} = Q_{\scriptscriptstyle R} - A_{\scriptscriptstyle L} \, \frac{dH_{\scriptscriptstyle L}}{dt} \quad \cdots \qquad (7)$$

ここで A_L : 十三湖の面積を示す. この方法を以後手法Cと呼ぶ.

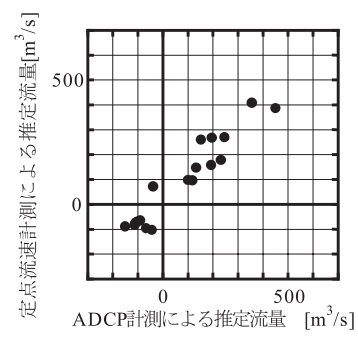


図-4 固定点で測定した流速に基づく方法(手法B)における 水戸口通過流量の推定精度の確認

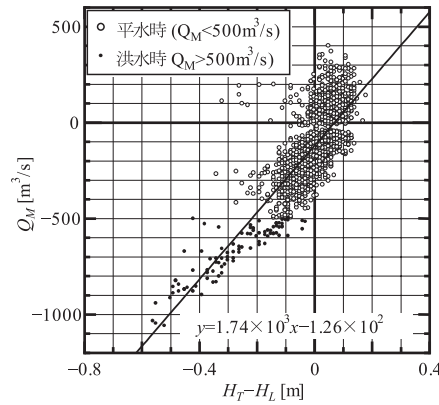


図-5 潮位と湖水位の差に対する流速測定結果から求めた水 戸口流量の関係

4. 観測および解析の結果

(1) 流速に基づく流量推定の妥当性確認

固定点において電磁流速計で連続測定した流速から、流量を算出する妥当性について、いくつかの段階を踏んで確認した。まず図-3は、ADCPで計測地点近傍を計測したときの流速の鉛直分布を、同時刻に対して比較したものである。なお、電磁流速計の流速データから設定した鉛直分布を破線であわせて示している。船の揺動などに伴うADCPの測定でのバラツキが比較的大きいことや、固定点の測定が2点しかないことなどから、評価はやや難しいが、概ね平均的には2水深の測定から評価できそうである。なお、ここに示していないADCPのデータを確認すると、水戸口の水深が浅いことなどの影響で、水深方向および横断方向の流速の変化は大きいものではなかった。

式 (6) に基づいて流速を用いた流量推定のための水路幅Bを求めたところ, B_M = 394.7mが得られた.これに対して,ADCPの計測時に,測点1の脇を通過した測線のボトムトラックデータを使って,この値の妥当性を確認した.平均水位に対する断面積で考慮すると,推定断面では $838m^2$ であるのに対し,ADCPから得られた断面積は $854\sim972m^2$ であった.したがって,式 (7) で得られた

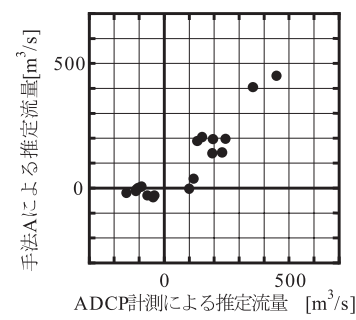


図-6 力学的な条件を考慮した方法(手法A)に関する水戸口 通過流量の推定精度の確認

横断幅は、やや過小評価だが概ね妥当だと考えられる.

図-4は、手法Bの流量推定値とADCPの断面計測結果から求めた流量の比較をしたものである。手法Bの値は、ADCPで流速分布を計測した時刻と対応したものを抽出している。ADCPの測定が限られた回数ではあるものの、相関係数が0.95という高い相関が両者に得られた。したがって、手法Bによる流量推定は、十分な精度を持っていると評価できる。

(2) 潮位データの取り扱い

本論文では、最終的に式(3)により、潮位と湖水位のバランスから流量を算出することが目的である。ただし、潮位が計測されている深浦は、十三湖から50km程度離れているため、十三湖の近傍とは多少の差があることが予想される。これを厳密に評価するのは難しいと考えられるため、本研究では以下に述べるようなかなり単純な評価をした上で、補正をして用いた。

図-5は、横軸に深浦の潮位と十三地点の湖水位の差を取り、縦軸に手法Bから得られた流量をプロットしたものである。式(3)を考えると、潮位と湖水位が等しければ、水戸口流量はゼロとなるはずである。しかし図中に示した回帰式からも分かるように、原点をやや外れた関係となっている。前節の検討結果から、流速から推定した流量は妥当性が高いと考えられる。そこで、潮位の補正を考慮することとした。図中に示した回帰線は、概ね非出水時を考慮するため、流量500m³/s以下に対して直線で近似したものである。これによると、潮位を7.2cm差し引く補正を行うと、原点を通る関係が得られることになる。そのため潮位を用いる解析では、この補正を行って用いることとした。

(3) 力学的条件を考慮した流量と塩分流入量の推定

前節のように補正した潮位と3 (1) 節で述べた方法から、水戸口流量を推定した結果を示す。まず図-6は、図-4と同様に、ADCPによる観測結果から算出した断面流速と、同時刻における手法Aによる推定結果で相関をとったものである。手法Bと比較すると、やや精度が落ちる

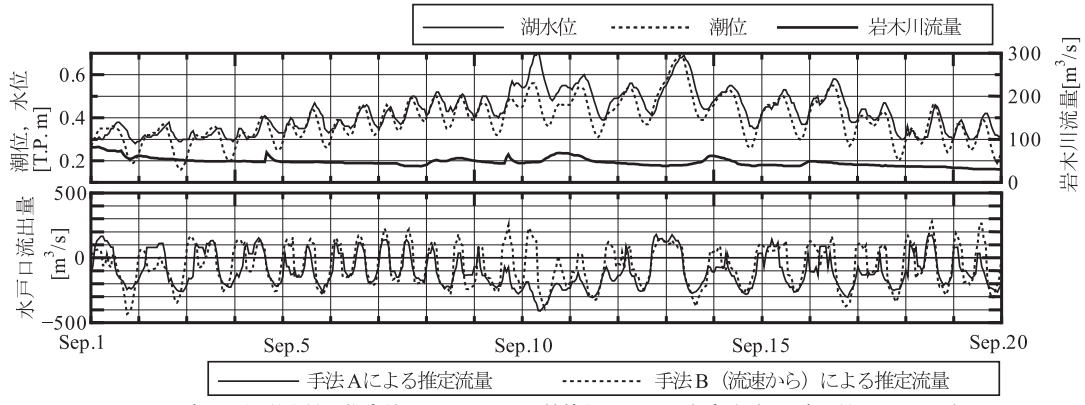
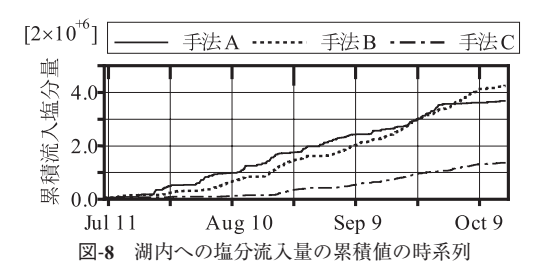


図-7 水戸口通過流量の推定結果についての比較検証のための時系列(2009年9月1日~20日)



ものの、概ねよく一致していると言える.

流量の推定結果の時系列 (一部)を図-7に示す。本研究で提案した手法Aに基づく推定結果は、流速から推定した流量 (手法B) と概ね同様の変動を示している。ただし、9月9~10日で多少の乖離が見られる。このとき、出水は生じていないが湖水位が上昇している。別途のデータとして、近傍の風向風速を確認したところ、やや強い西よりの風が吹いていたため、吹送流により水戸口から海水が流入していたと推測される。したがって、本研究の手法Aをより精度向上させるためには、風の条件も考慮に入れる必要があると考えられる。

図-8は、本研究で用いた各手法で、日本海から水戸口を通じて十三湖へ流入した塩分量を累積して比較したものである。ここで、海水の塩分は、梅田ら(2008)などの観測結果に基づいて33psuの一定値を仮定した。塩分の流出量に関しては、湖内での混合過程も考慮する必要があるため、本論文では流入フラックスのみを対象とした。この結果によると、本研究で提案した手法Aは、流速の測定時系列を用いた手法Bと良い対応をしていることが分かる。それに対して、湖水位と河川流量から連続条件で設定をする手法Cは、かなり過小評価をする結果となった。

5. 結論

汽水湖の環境を大きく左右する海からの塩分流入量を 評価するために、本論文では、湖水の水収支に加え、潮 位と湖水位の差に応じた力学的条件を考慮して、十三湖 と日本海の流入出量を求める方法の検討した。その結果、 水戸口の通過流量および流入塩分量について、妥当な結果を得ることができた。ただし、強風時に生じる吹き寄 せの影響を別途考慮する必要性が示唆された。

謝辞:本研究は岩木川における河川生態学術研究会の総合的な調査研究の一環として実施された。また本研究の一部は科学研究費補助金基盤研究(B)(21360230,代表:田中仁)により実施された。現地観測の際には、十三漁業組合にご協力をいただいた。ここに記して謝意を表する。

参考文献

梅田 信・田中 仁・小西絵里子・佐々木幹夫 (2008): 十三 湖における塩分と溶存酸素の変動に関する観測と解析, 海岸工学論文集, 第55巻, pp1051-1055.

楠田哲也·山本晃一監修·河川環境管理財団編(2008):河川 感潮域,技報堂出版,353p.

久保田光彦、藤原広和、長崎勝康、吉田由孝、細井 崇 (2006):小川原湖における水質・底質環境およびヤマト シジミの生息状況について、海岸工学論文集、第53巻、 pp.1091-1095.

鶴田泰士・石川忠晴・西田修三・藤原広和・村井禎美 (2001):小川原湖への海水進入現象に関わる水理データの 整備と復元,水文・水資源学会誌,第14巻1号,pp.13-26.

原 拓也・山崎 瞳・小山裕起・出村国光・細川泰史・笠井 亮秀・長崎勝康・和田 実・東 信行 (2008): 青森県十 三湖におけるヤマトシジミ (Corbicula japonica) の個体群 維持機構,日本生態学会東北地区会第53回大会.

丸谷靖幸・中山恵介・堀松大志・鰀目淑範・米元光明 (2010):網走湖における密度界面に対する風応力と河川 流入の影響評価,水工学論文集,Vol.54,pp.1393-1398.

Watanabe, K., Tanaka, H., Sasaki, M. (2005): Estimation of water depth at river mouth using water level variations - Application to Lake Jusan, *Environmental Hydrodynamic and Sustainable Water management*, Taylor & Francis Group, London, pp.1141-1146.